

维生素B₆与人血清白蛋白的相互作用

王建林², 付连春³, 周实武⁴, 陈志坚¹, 吕文波¹, 叶学敏¹, 孟广政⁵, 宋增福^{1*}

1. 北京大学物理学院, 北京 100871
2. 郑州轻工业学院, 材料与化学工程学院, 河南 郑州 450002
3. 中国纺织科学研究院北京中纺化工有限公司, 北京 100025
4. 扬州大学物理科学与技术学院, 江苏 扬州 225002
5. 钢铁研究总院, 北京 100081

摘要 人血清白蛋白(HSA)在296 nm的光激发下能发射350 nm的荧光(即 $\lambda_{ex}=296$, $\lambda_{em}=350$ nm)。当HSA中加入适量的维生素B₆(B₆)后, HSA的荧光被部分猝灭, 从 τ_0 (不加B₆时HSA的荧光寿命——分子激发态的寿命)与 τ_i (加入B₆后的寿命)相等(近似)得知这种猝灭是静态猝灭。根据理论, 可求出HSA与B₆间的结合常数 $K=2.67\times 10^4$ L·mol⁻¹。又从实验上可观察到HSA(它的激发态)可向B₆转移能量, 由此可求出HSA和B₆间的临界距离 $R_0=1.872$ nm。测定了HSA和(HSA+B₆)的圆二色(CD)谱, 发现所测得的CD谱都很相似(基本上是一样的)。从测得的 $[\theta]$ 值可以算出各个样品所含的四种结构(α -螺旋、 β -折叠片、 β -卷角, 无规卷曲)的百分含量也大体相同。

主题词 HSA; B₆; 荧光寿命; 圆二色谱

中图分类号: O644

文献标识码: A

文章编号: 1000-0593(2005)06-0912-04

引言

人血清白蛋白(human serum albumin, HSA)是血浆中最丰富的蛋白质, 在人体内起着重要的贮存和输运作用, 它是由20种L-氨基酸(实际上是19种氨基酸和1种亚氨基酸)合成的多聚体。从它的结构来看, 包含有: α -螺旋(α -helix)、 β -折叠片(β -pleated sheet)、 β -卷角(β -corner)和无规卷曲(random wind)^[1, 2]。

HSA能发射荧光, 其发射峰约在350 nm。把药物或金属离子加入到HSA中, 能猝灭它的荧光, 从而能求得荧光体(HSA)与猝灭体(外加药物或金属离子)间形成复合物的表观结合常数K。进一步, 还能求得荧光体与猝灭体间的临界距离 R_0 ^[3-10]。作者测定了B₆(维生素B₆)与HSA的K值和 R_0 值。

氨基酸分子中有不对称的碳原子, 显示出光学活性, 所以在光学上, HSA有旋光性, 另外, HSA在200~240 nm波段间有强吸收, 表现出吸收的各向异性, 显示了它的圆二色性(circular dichroism, CD), 一般用椭圆值 $[\theta]$ 表示圆二色性。测得 $[\theta]$ 值后, 可以算出HSA的结构(构象)。我们的工作中, 在HSA中加入了不同含量的B₆, 发现它的结构并不

随B₆加入量的不同而有大的变化(或者说变化很小)。总之, 我们进行这两个方面的工作, 得到一些有意义的结果, 并有一定的参考价值。

1 HSA的荧光

HSA能发射较强的荧光, 在室温下, 激发波长(λ_{ex})为296 nm, 发射峰(λ_{em})约350 nm, 在低温(本实验在153 K下进行的)下荧光稍有增强。当在HSA中加入适量的B₆后, 则HSA的荧光强度有所减弱, 也就是荧光被猝灭。猝灭的程度随B₆的浓度(记为[B₆])增加而加强。B₆本身也有荧光发射, 它的 $\lambda_{ex}=325\lambda_{nm}$, $\lambda_{em}=408$ nm。例如用He-Ne激光632.8 nm的倍频紫外激光316 nm激发B₆, 可以观察到它的荧光, 在B₆中加入适量的HSA, 则B₆的荧光增强^[4], 这说明HSA与B₆间存在能量转移, 从这里也可以看出, B₆与HSA间有相互作用。通常相互作用有两种, 即静态猝灭和动态猝灭。动态猝灭是猝灭剂(B₆)与荧光物质(HSA)的激发态分子间发生相互作用的过程, 也就是能生成瞬时的激发复合态(不发射荧光), 因此使荧光物质的荧光减弱, 亦使其激发态分子的寿命 τ 变小(小于 τ_0 , τ_0 为未加猝灭时的寿命)。静态猝灭是猝灭剂和荧光物质的分子在基态时发生配合反应,

所生成的配合物通常是不发光,这就使荧光物质的荧光被猝灭(荧光强度减弱),而其激发态分子寿命 τ 不变(一般 τ 等于 τ_0)。

1.1 动态猝灭

以 F_0 表示未加猝灭剂时的荧光物质的荧光强度, F 为加入一定量猝灭剂时的荧光强度, 则有

$$\frac{F_0}{F} = 1 + K_{SV}[B_6], \quad \frac{F_0}{F} - 1 = K_{SV}[B_6] \quad (1)$$

(1)式称为 Stern-Volmer 方程式, 式中的 $[B_6]$ 为 B_6 的浓度($\text{mol} \cdot \text{L}^{-1}$)。以 $\frac{F_0}{F} - 1$ 对 $[B_6]$ 作图, 得一直线, 从其斜率即可求得 K_{SV} (K_{SV} 为猝灭常数, $\text{L} \cdot \text{mol}^{-1}$)。

1.2 静态猝灭

与上述相似, 以下列公式表示静态猝灭

$$\frac{F_0}{F} - 1 = K[B_6] \quad (2)$$

(2)式中的 K 是为结合常数($\text{L} \cdot \text{mol}^{-1}$)。

从(1)式和(2)式可以看出, 二种情况下的表达式完全一样, 只是 K_{SV} 和 K 的含义有所区别^[1, 9]。

1.3 K 值的测定

作者测定了 HSA 荧光的 τ_0 值(不加 B_6 , $[\text{HSA}]$: $5 \times 10^{-5} \text{ mol} \cdot \text{L}^{-1}$), 又测定了加入不同含量 B_6 的 τ_i 值(τ_1 ($[B_6]$: $2.5 \times 10^{-6} \text{ mol} \cdot \text{L}^{-1}$), τ_2 (1.5×10^{-5}), τ_3 (2.5×10^{-5})), 它们分别为 1.77, 2.02, 1.86, 1.87 ns。从这里可以看出, 这 4 个 τ 值近似相等, 因此可以认为在这种情况下的猝灭为静态猝灭。我们进一步测量了 F_0 (HSA 的荧光相对值, 不加 B_6)和 F (加 B_6 时 HSA 的荧光相对值), 从而得到 $\left(\frac{F_0}{F} - 1\right)$ 值, 结果列于表 1。根据表 1, 作出图 1, 根据图 1 的直线斜率, 得到结合常数 $K = 2.67 \times 10^4 \text{ L} \cdot \text{mol}^{-1}$ 。

Table 1 The $[B_6]$ and $\left(\frac{F_0}{F} - 1\right)$ values

Samples	F	$\left(\frac{F_0}{F} - 1\right)$	$B_6/\text{mol} \cdot \text{L}^{-1}$
1	2.52(F_0)	0	
2	2.41	0.046	0.357
3	2.18	0.160	0.684
4	1.58	0.594	2.730
5	1.49	0.690	3.170

1.4 无辐射能量转移

在 HSA(能量给体)中加入 B_6 (能量受体)后, 处于激发态的 HSA 可把能量转移给 B_6 , 称之为 Føster 偶极—偶极无辐射能量转移, 从下式可求得临界距离 R_0

$$R_0^6 = 8.8 \times 10^{-25} K_1^2 \phi_D n^{-4} \cdot J \quad (3)$$

式中 K_1^2 的为取向因子($K_1^2 = 2/3$); ϕ_D 为无猝灭剂(B_6)时荧光物质(HSA)的量子产率($\phi_D = 0.11$); n 为介质的折射率($n = 1.36$); J 为重叠积分。为了求 J 值, 测量了 HSA 的荧光谱和 B_6 的吸收谱, 见图 2。从图 2 看出, 二者有重叠部分, 根据下式可求出重叠积分^[4]

$$J = \frac{\int_0^{\infty} F(\lambda) \epsilon(\lambda) \lambda^4 d\lambda}{\int_0^{\infty} F(\lambda) d\lambda} \quad (4)$$

(4)中的 $\epsilon(\lambda)$ 为 B_6 的摩尔吸光系数, 根据文献[4]的方法, 由重叠部分可求出 J 值, $J = 2.282 \times 10^{-15} \text{ cm}^3 \cdot \text{L} \cdot \text{mol}^{-1}$, 从而可求得 $R_0 = 1.872 \text{ nm}$ 。

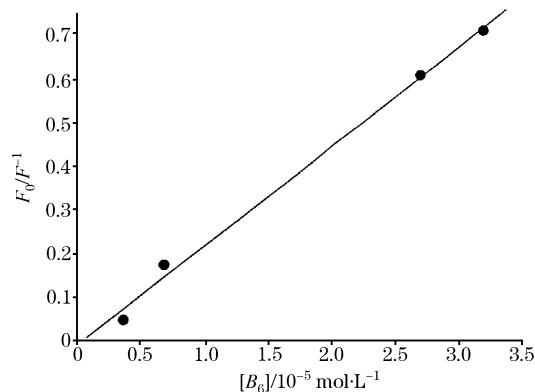


Fig. 1 Scheme of $[B_6]$ vs $\left(\frac{F_0}{F} - 1\right)$

$[\text{HSA}]$: $2.5 \times 10^{-5} \text{ mol} \cdot \text{L}^{-1}$

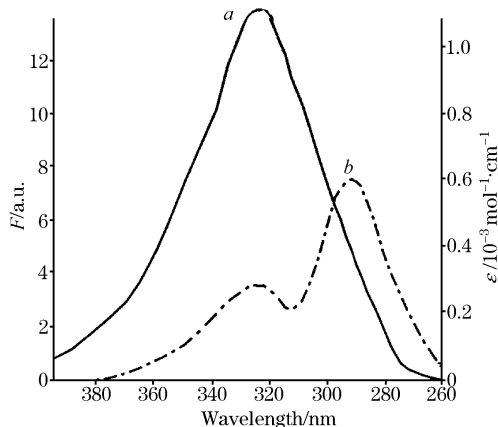


Fig. 2 Fluorescence spectrum of HSA (a) and absorption spectrum of B_6 (b) ($[\text{HSA}] = [B_6] = 1 \times 10^{-5} \text{ mol} \cdot \text{L}^{-1}$)

2 圆二色(CD)谱

HSA 是光学活性物质, 因此可测量它的 CD 谱, 从而了解其构象(结构), 当加入 B_6 后, 观察其结构的变化, 一般, CD 谱用椭圆值 $[\theta]$ 表示, 若使用单位浓度与单位光程长度, 则 $[\theta]$ 可表示为

$$[\theta] = 3300(A_L - A_R) \quad (5)$$

单位为“o” $\cdot \text{cm}^2 \cdot (\text{dm} \cdot \text{mol})^{-1}$, A_L 和 A_R 分别为物质对入射的左旋和右旋偏振光的吸收率, “o”表示度(degree)。从 CD 谱可得到样品构象的 $[\theta]$ 值, 例如文献[1]给出了多聚 L-赖氨酸(PLL)的 $[\theta]$ 值, 见图 3 所示。

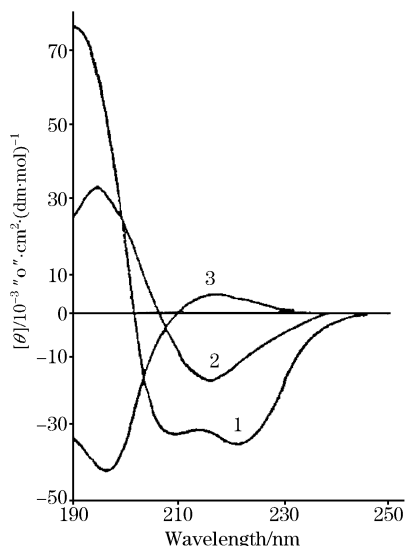


Fig. 3 Three conformation CD spectra of Polymer L-Lysine

1, 100% α -Helix; 2, 100% β -Pleated sheet;
3, 100% Random wind

本文测定了 HSA 和 HSA 中加入一定量 B_6 的 CD 谱, 所有 CD 谱的图形很相似(基本上相同)。 $[\theta]$ 的峰值(负峰)在 208~240 nm 范围内。总共测定了多个样品, 除不加 B_6 的样品外给出加 B_6 的样品 5 个列于表 2。图 4 是样品的 CD 谱(只给出一个, 因为图形都相似)。从 $[\theta]$ 值可以计量出 HSA 四种结构的含量(实际上只有 3 种, 因为 β 转角的含量为零)。所得结果列于表 3。从表 3 可以看出, 在样品中 3 种结构的含量近似相等(稍有变化), 这与上述提到的 CD 谱一样。计算四种结构的理论和方法在文献[11-13]中有着详细的论述。本文测量 CD 谱所用仪器的型号为 JASO-700。该仪器内部有计算程序, 当测出 $[\theta]$ 值(在一定波段范围内)后就可以算出结构(α -螺旋, ……等)的含量。

Table 2 Contents of B_6 in Samples

($[HSA] = 1 \times 10^{-5} \text{ mol} \cdot L^{-1}$)

Samples	$[B_6]/\text{mol} \cdot L^{-1}$
1	5×10^{-8}
2	1.5×10^{-7}
3	2.5×10^{-7}
4	3.5×10^{-7}
5	4.5×10^{-7}

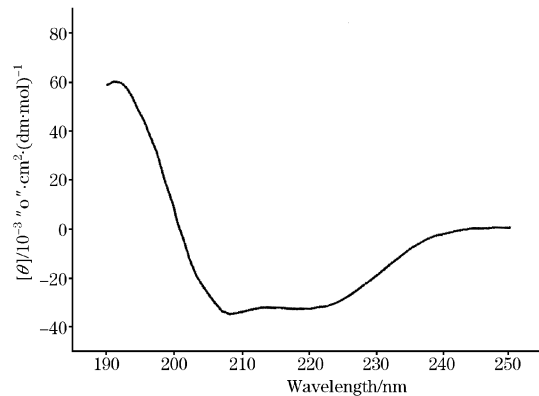


Fig. 4 CD spectrum of sample

Table 3 Construction contents in samples (%)

Samples	α -Helix	β -Pleated sheet	β -Corner	Random wind
1	38.6	35.6	0	25.8
2	39.5	33.6	0	26.9
3	35.7	36.8	0	27.5
4	37.0	35.7	0	27.4
5	39.3	31.3	0	29.4

综上所述, 本文讨论了在 HSA 中加入微量 B_6 后, 其构象基本不变(变化很小), 另外也讨论了 B_6 与 HSA 的作用是静态猝灭以及其间有能量转移。

参 考 文 献

- [1] LI Yuan-zong, CHANG Wen-bao(李元宗, 常文保). Biochemistry Analysis(生化分析). Beijing: Higher Education Press(北京: 高等教育出版社), 2003.
- [2] Harr R Matthews, Richard A Freedland, Roger L Miesfeld, Editors, Translated by WU Xiang-yu(吴相钰译). Biochemistry—A Short Course(生物化学简明教程). Beijing: Peking University Press(北京: 北京大学出版社), 2001.
- [3] CHEN Guo-zhen, HUANG Xian-zhi, ZHENG Zhu-zi, XU Jin-gou, WANG Zun-ben(陈国珍, 黄贤智, 郑朱梓, 许金钩, 王尊本). Fluorescence Analysis Method(荧光分析法). Beijing: Science Press((北京: 科学出版社), 1990.
- [4] MA Gui-bin, YANG Pin(马贵斌, 杨 频). Progress in Biochemistry and Biophysics(生物化学与生物物理进展), 1990, 17(4): 290.
- [5] YANG Bin-sheng, YANG Pin(杨斌盛, 杨 频). Progress in Biochemistry and Biophysics(生物化学与生物物理进展), 1992, 19(2): 110.
- [6] LIANG Hong, XING Ben-gang, WU Qin-xuan, LUO Ji-wen, ZHOU Yong-qia, SHEN Pan-wen(梁 宏, 邢本刚, 吴庆轩, 罗济文, 周永治, 申泮文). Acta Chimica Sinica(化学学报), 1999, 57: 161.
- [7] LIU Bao-sheng, ZHANG Hong-yi, WANG Fu-li(刘保生, 张红医, 王甫丽). Spectroscopy and Spectral Analysis(光谱学与光谱分析), 2003, 23(3): 539.
- [8] YU Tian-zhi, YANG Ru-dong(俞天智, 杨汝栋). Spectroscopy and Spectral Analysis(光谱学与光谱分析), 2003, 23(4): 763.
- [9] JIANG Chong-qiu, GAO Ming-xia(江崇球, 高明霞). Spectroscopy and Spectral Analysis(光谱学与光谱分析), 2003, 23(5): 937.
- [10] ZHAO Chang-chun, ZHENG Wei-fa, LI Meng-qiu(赵长春, 郑维发, 李梦秋). Spectroscopy and Spectral Analysis(光谱学与光谱分析), 2004, 24(1): 111.
- [11] LU Zi-xian(鲁子贤), Application of Circular Dichroism and Optical Rotatory Dispersion in Biology(圆二色性和旋光色散在分子生物学中的应用). Beijing: Science Press(北京: 科学出版社), 1987.
- [12] BIAN Wei-dong, WONG R N S, SUN Su-qin, ZHOU Qun(卞为东, 黄岳顺, 孙素琴, 周 群). Spectroscopy and Spectral Analysis(光谱学与光谱分析), 2000, 20(4): 492.
- [13] LIU Hai-yang, YING Xiao, HU Xi-ming, LIU Yi, HUANG Jian, et al(刘海洋, 应 晓, 胡希明, 刘 义, 黄 剑, 等). Spectroscopy and Spectral Analysis(光谱学与光谱分析), 2000, 20(4): 495.

The Interaction of Vitamin B₆ with the Human Serum Albumin

WANG Jian-lin², FU Lian-chun³, ZHOU Shi-wu⁴, CHEN Zhi-jian¹, LÁ Wen-bo¹, YE Xue-min¹, MENG Guang-zheng⁵, SONG Zeng-fu^{1*}

1. School of physics, Peking University, Beijing 100871, China
2. College of Material Science and Chemical Engineering, Zhengzhou University of Light Industry, Zhengzhou 450002, China
3. CTA-Tex Chemicals, Beijing 100025, China
4. College of Physical Science and Technology, Yangzhou University, Yangzhou 225002, China
5. Central Iron and Steel Research Institute, Beijing 100081, China

Abstract The Human Serum Albumin(HSA)can emit fluorescence($\lambda_{em}=350$ nm)under irradiation of ultraviolet light($\lambda_{ex}=296$ nm). After the vitamin B₆(B₆) was added into HSA solution the fluorescence of HSA was quenched partially. This quenching was static quenching owing to the fact that τ_0 (fluorescence life time (life time of the molecule excitation state) of HSA without B₆) equaled to τ_i (fluorescence life time of HSA with B₆). The formation constant K between HSA and B₆ was observed from the experiment, and then the binding distance R_0 was determined($R_0=1.872$ nm). The CD spectra of samples (HSA, [HSA]= 1×10^{-5} mol·L⁻¹, HSA+B₆, [B₆]= 5×10^{-8} , 1.5×10^{-7} , 2.5×10^{-7} , 3.5×10^{-7} , 4.5×10^{-7} mol·L⁻¹) were measured, and all CD spectra were almost the same. From $[\theta]$ values, the contents(percent content)of four structure(α -Helix, β -Pleated, β -corner, and Random wind)of samples can be calculated, and we find that all samples contain almost the same structure contents.

Keywords HSA; B₆; Fluorescence life time; CD spectra

(Received Dec. 8, 2004; accepted Feb. 28, 2005)

* Corresponding author